

**О ГОРЕНИИ СМЕСЕЙ СУЛЬФАТОВ МЕТАЛЛОВ  
С МАГНИЕМ ИЛИ АЛЮМИНИЕМ**

A. V. Васильев, B. B. Горбунов, A. A. Шидловский  
(Москва)

В литературе имеется мало сведений о горении смесей сульфатов с магнием или алюминием. Известно, что некоторые из них воспламеняются при нагревании [1], а сульфаты бария и кальция были предложены в качестве окислителей в пиротехнических осветительных составах [2]. Как окислители безводные сульфаты уступают нитратам, так как требуют значительно больше тепла на разложение по схеме  $M_{x}SO_4 \rightarrow M_xS + 2O_2$ . Содержание кислорода в сульфатах сравнимо с содержанием кислорода в нитратах тех же металлов.

Наряду со смесями, содержащими безводные сульфаты, представляло интерес исследование горения смесей магния (алюминия) с кристаллогидратами сульфатов. Смеси этих металлов с водой способны к горению [3]. Содержание воды в таких кристаллогидратах, как  $Na_2SO_4 \cdot 10H_2O$  и  $MgSO_4 \cdot 7H_2O$ , велико (56 и 51 вес. % соответственно), а общее содержание кислорода значительно больше, чем в  $NaNO_3$  (см. таблицу).

Окислитель	Общее содержание кислорода, вес. %	Теплота образования ккал/мол $\Delta H_{298}$	Содержание Me в стехиометрической смеси, вес. %		Расчетная теплота горения в смеси, ккал/кг		$d_{kp}$ горения при $p=1$ атм, мм	
			Mg	Al	Mg	Al	Mg +/-	Al +/-
$Li_2SO_4$	58	343	47	36	1640	1620	4/2	7/4
$Na_2SO_4$	45	331	40	33	1400	1360	4/2	7/4
$K_2SO_4$	37	343	34	29	1230	1180	4/2	12/10
$MgSO_4$	53	306	44	37	1620	1610	7/4	16/12
$CaSO_4$	47	342	42	34	1500	1470	4/3	17/12
$BaSO_4$	27	350	30	23	1000	940	5/3	17/12
$CuSO_4$	40	184	38	31	1570	1560	7/4	10/7
$Na_2SO_4 \cdot 10H_2O$	70	1033	51	44	1620	1610	4/2	20/17
$MgSO_4 \cdot 7H_2O$	71	809	52	45	1670	1670	10/8	-/46
$FeSO_4 \cdot 7H_2O$	63	719	49	42	1630	1620	8/6	13/12
$H_2Oж.$	89	68,4	57	50	1800	1810	12/10	32/28
$NaNO_3$	56	112	42	35	2050	2090	3/2	-

Изучалось горение стехиометрических смесей магния (алюминия) с безводными сульфатами  $Li$ ,  $Na$ ,  $K$ ,  $Mg$ ,  $Ca$ ,  $Ba$ ,  $Cu$  и кристаллогидратами  $Na_2SO_4 \cdot 10H_2O$ ,  $MgSO_4 \cdot 7H_2O$  и  $FeSO_4 \cdot 7H_2O$ . Порошки магния (алюминия) имели активность 99,6% (92,5%) и средний размер частиц 35  $\mu$ к (1  $\mu$ к). Окислители использовались марки ч.д.и х.ч. Размер частиц всех окислителей был менее 250  $\mu$ к.

Определение критического диаметра горения ( $d_{kp}$ ) проводилось при  $p=1$  атм на воздухе. Смеси помещались в стеклянные стаканчики, плотность зарядов была 0,8—1,0 г/см<sup>3</sup> ( $K_{упл} = 0,2$ —0,5). Зависимость скорости горения от давления исследовалась в бомбе постоянного давления в атмосфере азота. Отдельные опыты проводились в аргоне и дали такие же результаты, как и в азоте. Заряды представляли собой шашки ( $K_{упл} = 0,8$ —0,9) диаметром 15 мм, бронированные по боковой поверхности целлофановой лентой и плотно вставленные в стеклянную трубку. Воспламенителем служила смесь  $Mg/BaO_2$  12,8/87,2 вес. %, в свою очередь инициируемая электроспиралью. Для определения скорости горения применяли фотогистр или кинокамеру.

Наименьший  $d_{kp}$  горения наблюдался у смесей магния с  $Li_2SO_4$ ,  $Na_2SO_4$ ,  $K_2SO_4$  и  $Na_2SO_4 \cdot 10H_2O$ . Эти смеси имели  $d_{kp}$  почти такой же, как и стехиометрическая смесь магния с  $NaNO_3$ . При замене магния алюминием  $d_{kp}$  смесей увеличивался особенно сильно в случае некоторых кристаллогидратов (для  $Na_2SO_4 \cdot 10H_2O$  в 5 раз). Горение смесей металлов с кристаллогидратами сопровождалось разбрасыванием заряда и протекало менее устойчиво, чем у смесей с безводными сульфатами.

Скорость горения смесей магния с  $Li_2SO_4$ ,  $Na_2SO_4$  и  $K_2SO_4$  оставалась постоянной в интервале давлений 1—100 атм (рис. 1, а). У смеси магния с  $Na_2SO_4 \cdot 10H_2O$  наблюдалось быстрое увеличение скорости горения от 1 до 10 атм; при более высоких давлениях (до 100 атм) скорость горения была постоянной, но меньшей, чем у смеси с без-

водным  $\text{Na}_2\text{SO}_4$ . Смесь магния с водой горела значительно медленнее, чем смесь с сульфатами. Скорость ее горения в интервале давлений 20—100 атм оставалась постоянной. Изменение коэффициента уплотнения смесей магния с  $\text{Li}_2\text{SO}_4$  и  $\text{Na}_2\text{SO}_4$  от 0,6 до 0,9 не оказывало влияния на величину скорости горения. Опыты, проводившиеся при давлениях 20 и 80 атм с использованием  $\text{Na}_2\text{SO}_4$ , имеющего размеры частиц менее 50, 50—63 и 100—200 мк, показали, что дисперсность этого окислителя не влияет на скорость горения. Скорость горения смесей алюминия с теми же окислителями (см. рис. 1, б) незначительно увеличивается в интервале давлений от 20 до 100 атм (в случае  $\text{K}_2\text{SO}_4$  от 40 до 100 атм). Воспламеняются они труднее и горят примерно в 3 раза медленнее соответствующих смесей с магнием.

Скорость горения смесей магния или алюминия с сульфатами  $\text{Mg}$ ,  $\text{Ca}$ ,  $\text{Ba}$ ,  $\text{Cu}$  и кристаллогидратами  $\text{MgSO}_4 \cdot 7\text{H}_2\text{O}$  и  $\text{FeSO}_4 \cdot 7\text{H}_2\text{O}$  увеличивалась при повышении давления (рис. 2 а, б). На примере  $\text{MgSO}_4$  и  $\text{MgSO}_4 \cdot 7\text{H}_2\text{O}$  видно, что, как и в случае  $\text{Na}_2\text{SO}_4$  и  $\text{Na}_2\text{SO}_4 \cdot 10\text{H}_2\text{O}$ , наличие кристаллизационной воды уменьшает скорость горения смеси. Смеси алюминия с  $\text{CuSO}_4$  и  $\text{CaSO}_4$  горят при повышенных давлениях несколько быстрее смесей магния с теми же окислителями.

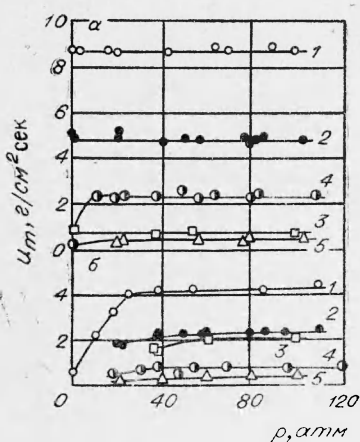


Рис. 1. Зависимость скорости горения от давления смесей магния (а) и алюминия (б) с  $\text{Li}_2\text{SO}_4$  (1),  $\text{Na}_2\text{SO}_4$  (2),  $\text{K}_2\text{SO}_4$  (3),  $\text{Na}_2\text{SO}_4 \cdot 10\text{H}_2\text{O}$  (4) и  $\text{H}_2\text{O}$  (5).

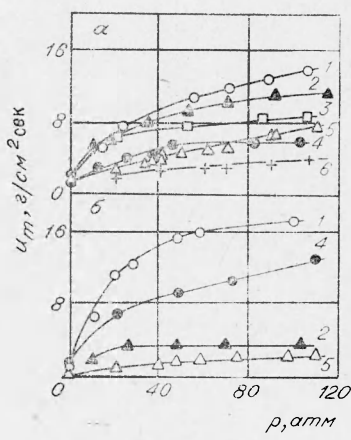


Рис. 2. Зависимость скорости горения от давления смесей магния (а) и алюминия (б) с  $\text{CuSO}_4$  (1),  $\text{BaSO}_4$  (2),  $\text{MgSO}_4$  (3),  $\text{CaSO}_4$  (4),  $\text{FeSO}_4 \cdot 7\text{H}_2\text{O}$  (5) и  $\text{MgSO}_4 \cdot 7\text{H}_2\text{O}$  (6).

Использовавшиеся окислители по характеру полученной зависимости  $u_m = f(p)$  можно разделить на две группы:

1)  $\text{Li}_2\text{SO}_4$ ,  $\text{Na}_2\text{SO}_4$ ,  $\text{K}_2\text{SO}_4$ ,  $\text{Na}_2\text{SO}_4 \cdot 10\text{H}_2\text{O}$  и  $\text{H}_2\text{O}$ , образующие смеси с магнием, скорость горения которых не зависит от давления; в случае алюминия скорость горения незначительно увеличивается в интервале давлений 20—100 атм;

2)  $\text{MgSO}_4$ ,  $\text{MgSO}_4 \cdot 7\text{H}_2\text{O}$ ,  $\text{CuSO}_4$ ,  $\text{CaSO}_4$  и  $\text{FeSO}_4 \cdot 7\text{H}_2\text{O}$ , скорость их горения с магнием или алюминием увеличивается при повышении давления.

Обращает на себя внимание, что сульфаты лития, натрия и калия плавятся без разложения при температурах 885, 860 и 1070°C соответственно. По-видимому, окисление магния при горении смесей с этими сульфатами протекает преимущественно в расплаве окислителя, т. е. в конденсированной фазе. Возможно, что окисление магния происходит частично в конденсированной фазе и при горении его смесей с водой. Повышенные давления этому способствуют. Меньшая окислительная способность паров воды по отношению к алюминию обуславливает более сильное уменьшение скорости горения смесей его с кристаллогидратами (сравн.  $\text{Na}_2\text{SO}_4$  и  $\text{Na}_2\text{SO}_4 \cdot 10\text{H}_2\text{O}$  в смесях с магнием и алюминием) и значительное возрастание  $d_{kp}$ .

Во второй группе находятся сульфаты металлов, разлагающиеся при плавлении или ниже температуры плавления ( $\text{CuSO}_4$ ). При горении смесей этих сульфатов с магнием (алюминием) над поверхностью заряда образуется яркое пламя. Шлаки получаются пористые, рыхлые. По-видимому, горение металла протекает в дымо-газовой фазе, образованной продуктами разложения окислителя. Применение в смеси с магнием вместо  $\text{Na}_2\text{SO}_4$  его кислой соли  $\text{NaHSO}_4$ , разлагающейся при 320°C, привело к росту скорости с увеличением давления.

Таким образом, различия в зависимости скорости горения от давления смесей магния и алюминия с изученными сульфатами можно объяснить окислением металла в расплаве сульфата или в газообразных продуктах разложения последнего.

Поступила в редакцию  
10/II 1970

## ЛИТЕРАТУРА

1. Gmelin's Handbuch der anorganischen Chemie, 8 Auflage, Syst. № 27 — Mg, Teil A, S. 313, 1937, B.
2. H. Ellergp. Civilian a military Pyrotechnics, N. Y., 1968.
3. В. В. Горбунов, А. В. Васильев, А. А. Шидловский. Изв. вузов СССР. Сер. Химия и хим. технология, 1969, XII, 9, 1171—1174; 1970, XIII, 3.

УДК 536.46 + 662.215.4

## ЗАВИСИМОСТЬ СКОРОСТИ ГОРЕНИЯ ПИКРАТА КАЛИЯ ОТ НАЧАЛЬНОЙ ТЕМПЕРАТУРЫ

B. B. Жалнин, Ю. С. Кичин  
(Москва)

К изучению горения пикрата калия (вещества, приближающегося по своим свойствам к инициирующим ВВ и обладающего высокой скоростью горения) обращались многие исследователи.

Подробно изучена зависимость скорости горения от давления [1, 2]. В работе [1] исследовано влияние плотности и дисперсности.

В данной работе изучалась зависимость скорости горения и пикрата калия от начальной температуры  $T_0$ .

Пикрат калия получали обычным способом, добавляя поташ к раствору пикриновой кислоты в воде. Затем кристаллы высущенного вещества растирались в агатовой ступке до размера  $\sim 50 \text{ мкм}$  и прессовались в латунные стаканчики  $d=8 \text{ мм}$  до относительной плотности  $\delta=0,98-0,99$ . Опыты проводились в бомбе постоянного давления в азоте. Скорость горения измерялась с помощью пьезодатчика давления.

Зависимость скорости горения от начальной температуры характеризуют температурным коэффициентом скорости горения:

$$\beta = \frac{d \ln u}{d T_0} 1/\text{град}. \quad (1)$$

Если горение протекает в узкой зоне в газовой или конденсированной фазе, то температурный коэффициент можно представить в виде

$$\beta = \frac{E}{2 R T_{\text{эфф}}^2}, \quad (2)$$

где  $E$  — энергия активации;  $R$  — газовая постоянная;  $T_{\text{эфф}}$  — температура в зоне, определяющей скорость горения. Отсюда видно, что чем ниже  $T_{\text{эфф}}$ , тем выше  $\beta$  и наоборот.

Рассмотрим результаты опытов. В таблице и на рисунке приведены средние значения скоростей горения и температурных коэффициентов скорости горения. В согласии с результатами работ [1, 2] при увеличении давления скорость горения пикрата калия сначала возрастает, затем (при некотором давлении  $p_*$ ) проходит через максимум и начинает уменьшаться по мере дальнейшего роста давления (в изученной нами области давления  $p < 40 \text{ atm}$ ). При  $T_0=20^\circ\text{C}$  значение  $p_*$  составляло 6 atm, что совпадает со значением  $p_*$  в [1, 2]<sup>1</sup>.

<sup>1</sup> Однако значение  $u_{\text{max}} = u/p_*$  в нашей работе (72 мм/сек) было выше, чем в работе [1] ( $u_{\text{max}} = 70 \text{ мм/сек}$ ) и работе [2] ( $u_{\text{max}} = 61 \text{ мм/сек}$ ). Возможно, что это связано с различной дисперсностью пикрата калия.